

Wölfel Gruppe			
IBA Projektentwic	eklungs GmbH & Co. KG		
		Bearbeiter:	
		Durchwahl:	Telefax:
		E-Mail:	
Ihr Zeichen	Ihre Nachricht vom	Unser Zeichen X0752/005-Gr/Ri	Datum 18.03.2022

Stellungnahme zur Erschütterungsprognose BV Oberbillwerder für den Bereich südlich des Bahndamms

Sehr geehrte Damen und Herren,

im Jahr 2017 hat die Wölfel Engineering GmbH & Co. KG Erschütterungsmessungen im Planungsgebiet Oberbillwerder im Bereich nördlich des Bahndamms durchgeführt. Basierend auf den Messdaten erfolgte eine Erschütterungsprognose, deren Ergebnisse im Bericht X0752/002-01 [1] dokumentiert wurden. Im Jahr 2020 erfolgte eine Aktualisierung dieser Erschütterungsprognose aufgrund einer neuen Prognose von Zugzahlen für das Jahr 2030. Diese Aktualisierung wurde in einer Stellungnahme [2] dokumentiert.

1. Aufgabe, Ziel

Aufgrund der bisherigen Arbeiten der Wölfel Engineering bittet die IBA Projektentwicklungs GmbH & Co. KG um die Prüfung einer Übertragbarkeit der Erschütterungsprognose für den Bereich nördlich des Bahndamms auf den Bereich südlich des Bahndamms. Die betroffenen Bereiche sind im Anhang A dargestellt.

2. Unterlagen

[1]	Wolfel Engineering GmbH & Co. KG	2017-02
	X0752/002-01 Erschütterungsmessung und -prognose	
[2]	Wölfel Engineering GmbH & Co. KG	2020-07
	X0752/002-01 Aktualisierte Erschütterungsprognose	
[3]	IBA Projektentwicklungs GmbH & Co. KG	2021-12
	B-Plan BV Oberbillwerder	
[4]	IGB Ingenieurgesellschaft mbH	2022-02
	Geotechnisches Vorgutachten Fußgängertunnel West	

Wölfel Engineering GmbH + Co. KG



2022 02



2022-02
2013-01
2017-09
,

3. Prüfung der Übertragbarkeit

Daytacha Dohn AC

Die Übertragung der Ergebnisse einer Erschütterungsprognose von einem Ort A auf einen Ort B ist grundsätzlich möglich, sofern die Randbedingungen, die einen Einfluss auf die Emission, Transmission und Immission von Erschütterungen haben, gleich oder zumindest vergleichbar sind [6]. Nachfolgend wird der Vergleich der wesentlichen Randbedingungen vorgenommen.

Vergleichbarkeit der Zugzahlen (Emission)

Da der nördliche und südliche Bereich des Planungsgebietes an dieselben Bahnstrecken grenzen, sind der Erschütterungsprognose für die beiden Bereiche dieselben Zugzahlen zugrunde zu legen. Da im Jahr 2020 eine Aktualisierung der Erschütterungsprognose aufgrund von Veränderungen der für 2030 prognostizierten Zugzahlen erforderlich war, wurden im Kontext dieser Stellungnahme die Zugzahlen erneut bei der DB abgefragt. Die Abfrage [5] ergab, dass sich die Zugzahlen seit der Aktualisierung in 2020 nicht wesentlich verändert haben. Lediglich auf der Stecke 1280 ist die Zahl der Güterzüge in der Nacht von 1 auf 2 angestiegen. Die aktuellen Zugzahlen für das Jahr 2030 sind in Tabelle 1 aufgeführt.

Tabelle 1: Zugzahlen für das Jahr 2030 [5]

Zugtyp	Tags (6-22Uhr)	Nachts (22-6Uhr)	Geschätzte Pas- sierdauer								
Strecke 1244											
S-Bahn (SB)	251	37	15 s								
	Strecke 6100)									
Fernzug (FZ)	61	3	15 s								
Regionalbahn (RB)	47	7	15 s								
Güterzug (GZ)	23	12	20 s								
Strecke 1280											
Güterzug (GZ)	3	2	15 s								

Vergleichbarkeit des Baugrundes (Transmission)

Der Einfluss des Bodens auf die Transmission der Erschütterungen wurde in den Erschütterungsprognosen in [1] und [2] nicht gesondert betrachtet. Grund dafür ist, dass dieser Einfluss in den an den Immissionsorten gemessenen Erschütterungen bereits enthalten ist. Zur Prüfung der Übertragbarkeit der Ergebnisse ist jedoch die Betrachtung des Bodens erforderlich. Aus dem geotechnischen Vorgutachten für den Fußgängertunnel West [4] kann der Bodenaufbau im Bereich nördlich und südlich des Bahndamms entnommen werden. Die Bohrprofile von Altaufschlüssen im Anhang von [4] zeigen, dass sich der allgemeine Aufbau des Bodens im nördlichen und südlichen Bereich nicht wesentlich unterschiedet. Vor diesem Hintergrund ist eine Übertragbarkeit der Erschütterungsprognose im Hinblick auf den Baugrund möglich.

Vergleichbarkeit der Abstände zwischen Emissions- und Immissionsorten (Transmission)

Der Einfluss der Abstände zwischen den Emissionsorten (Gleise) und den Immissionsorten (Messpunkte bzw. geplante Bebauung) wurde in den Erschütterungsprognosen in [1] und [2] nicht gesondert betrachtet, da dieser Einfluss bereits in den gemessenen Erschütterungen enthalten ist (vergleichbar mit Baugrund,



s.o.). Für die Prüfung der Übertragbarkeit sind die einzelnen Abstände jedoch gesondert zu betrachten. Die Lage der Strecken und der zugehörigen Gleise ist in Anhang A auf Seite A2 dargestellt. In Tabelle 2 sind die Abstände der Messpunkte MP 1 – MP 4 von Messort 1 aus [1] zu den einzelnen Gleisen angegeben. Ebenfalls aufgeführt sind die Abstände der Gleise zu der südlichen Bebauung. Zur Ermittlung dieser Abstände wurde die nördliche Grundstücksgrenze aus dem B-Plan [3] verwendet. Aus Tabelle 2 geht hervor, dass Messpunkt MP 1 vergleichbare Abstände zu den Gleisen der Strecke 1280 und 6100 aufweist wie die südliche Bebauung. Die Messpunkte MP 2 – MP 4 weisen mit der südlichen Bebauung vergleichbare Abstände zu den Gleisen der Strecke 1244 auf. Da der Güterverkehr auf den Strecken 1280 und 6100 höhere Erschütterungsamplituden im Vergleich zu der S-Bahn auf der Strecke 1244 hervorruft, kann der Abstand zu diesen Gleisen als maßgebend betrachtet werden. Hieraus ergibt sich, dass lediglich der Messpunkt MP 1 als repräsentativ für die südliche Bebauung herangezogen werden kann. Da die Abstände von MP 1 zu den Gleisen der Strecke 1244 wesentlich geringer sind im Vergleich zur südlichen Bebauung, sind die Ergebnisse der Erschütterungsprognose des MP 1 als konservativ und damit auf der sicheren Seite liegend anzusehen.

Zusammenfassend zeigt der Vergleich der Abstände, dass die Ergebnisse der Erschütterungsprognose aus [1] und [2] zumindest für den Messpunkt MP 1 auf den südlichen Bereich übertragen werden kann.

Tabelle 2: Abstände zu den einzelnen	Gleisen der Messpunkte aus []	I] und der südlichen Bebauung [3]

Strecke	Gleis	MP 1	MP 2	MP 3	MP 4	Südliche Bebauung
Strecke	nördliches Gleis	ca. 18 m	ca. 32 m	ca. 62 m	ca. 62 m	ca. 55 m – 90 m
1244	südliches Gleis	ca. 30 m	ca. 44 m	ca. 74 m	ca. 74 m	ca. 45 m – 80 m
Strecke	nördliches Gleis	ca. 38 m	ca. 52 m	ca. 82 m	ca. 82 m	ca. 38 m – 75 m
6100	südliches Gleis	ca. 40 m	ca. 54 m	ca. 84 m	ca. 84 m	ca. $35 \text{ m} - 70 \text{ m}$
Strecke		ca. 45 m	ca. 59 m	ca. 89 m	ca. 89 m	ca. 35 m – 55 m
1280						

Vergleichbarkeit der zukünftigen Bebauung (Immission)

In der ersten Erschütterungsprognose [1] wurden drei verschiedene Gebäudevarianten definiert und die Prognose und Beurteilung für diese Gebäudevarianten vorgenommen. In der Aktualisierung der Erschütterungsprognose [2] wurde bereits angeführt, dass im Jahr 2017 die DB Ril 820.2050 [7] eingeführt wurde, welche keine Unterscheidung in verschiedener Gebäudevarianten (bzw. daraus resultierender Bodenbauwerkseigenfrequenzen) vornimmt. Um dem Stand der Technik zu entsprechen, wird die Verwendung der Ergebnisse in [2] basierend auf der DB Ril 820.2050 angenommen. Dies sind die Ergebnisse auf den Seiten B10 – B11 in [2], welche auch im Anhang B dieses Berichtes noch einmal dargestellt sind. Vor diesem Hintergrund sehen wir die Übertagbarkeit im Hinblick auf die geplante Bebauung als erfüllt.

4. Zusammenfassung, Fazit

Die Prüfung der Übertragbarkeit hat ergeben, dass die Ergebnisse der vorangegangenen Erschütterungsprognose bzw. deren Aktualisierung [2] auch für den Bereich südlich des Bahndamms Anwendung finden kann. Eine Erschütterungsmessung im südlichen Bereich und eine erneute Durchführung einer Erschütterungsprognose ist aus unserer Sicht damit nicht erforderlich.

Repräsentativ für den Bereich südlich des Bahndamms sind die Messdaten des Messpunktes MP 1 am Messort 1 (siehe Anhänge A und B). <u>Die Empfehlungen aus [1] und [2]</u>, die sich aus der Beurteilung ergeben haben, sollten auch für den Bereich südlich des <u>Bahndamms in jedem Punkt unbedingt betrachtet werden</u>.



Für weitergehende Fragen stehen wir Ihnen gerne zur Verfügung.

Mit freundlichen Grüßen

Wölfel Engineering GmbH + Co. KG



Anhang A:	Übersichtspläne der Bereiche und der Messpunkte aus [1]	A1
_	B-Plan Ausschnitt	A2
	Übersichtplan der Gleisanlagen	A2
Anhang B:	Prognoseergebnisse	B1 - B2



Übersichtspläne

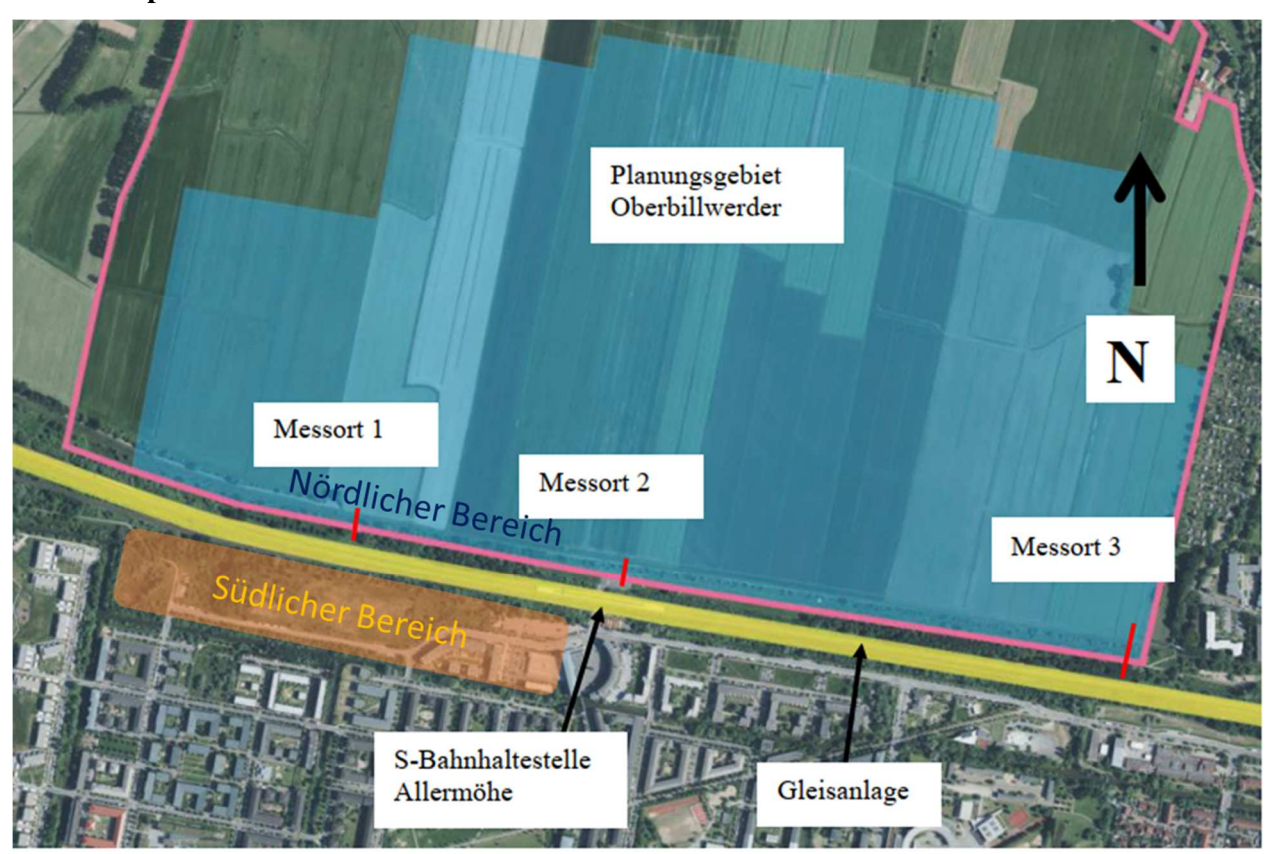


Abbildung A.1: Übersichtsplan des Planungsgebietes Oberbillwerder, der Messort von 2017 und Kennzeichnung des nördlichen und südlichen Bereichs [1].



Abbildung A.2: Lageplan der Messpunkte am Messort 1 der Messung von 2017 [1].







Abbildung A.4: Darstellung der Gleise bzw. Strecken angrenzend an den betrachteten Bereich, Quelle: https://openrailwaymap.org/

Prognostizierte KB_{FTr} Werte für verschiedene Deckeneigenfrequenzen für die Messpunkte MP 1 bis MP 12 in Anlehnung an die aktuelle DB Richtlinie 820.2050

			Z-Richtung											
КВ	FTr tags	Messpunkt												
		MP1	MP2	MP3	MP4	MP5	MP6	MP7	MP8	MP9	MP10	MP11	MP12	
	8 Hz	0,061	0,058	0,050	0,055	0,073	0,055	0,062	0,066	0,095	0,084	0,065	0,061	
	10 Hz	0,058	0,052	0,056	0,045	0,087	0,063	0,073	0,071	0,124	0,123	0,082	0,068	
e	12,5 Hz	0,053	0,035	0,041	0,035	0,099	0,054	0,067	0,055	0,094	0,103	0,063	0,049	
Decke	16 Hz	0,063	0,028	0,027	0,026	0,077	0,042	0,052	0,053	0,085	0,097	0,043	0,034	
	20 Hz	0,047	0,024	0,018	0,018	0,048	0,027	0,035	0,048	0,058	0,053	0,028	0,023	
anb	25 Hz	0,036	0,021	0,017	0,018	0,035	0,021	0,026	0,052	0,041	0,038	0,022	0,018	
Eigenfrequenz	31,5 Hz	0,035	0,021	0,016	0,017	0,030	0,019	0,023	0,051	0,036	0,034	0,021	0,017	
gen	40 Hz	0,029	0,018	0,015	0,015	0,029	0,018	0,022	0,059	0,036	0,035	0,020	0,017	
Ë	50 Hz	0,024	0,016	0,015	0,015	0,029	0,018	0,021	0,051	0,034	0,033	0,020	0,017	
	62,5 Hz	0,023	0,016	0,014	0,014	0,029	0,018	0,021	0,039	0,032	0,031	0,019	0,016	
	80 Hz	0,022	0,015	0,014	0,014	0,029	0,017	0,020	0,033	0,031	0,030	0,019	0,016	

Γ.	/DET.						Z-Ri	chtung					
	KBFTr	Messpunkt											
Ľ	achts	MP1	MP2	MP3	MP4	MP5	MP6	MP7	MP8	MP9	MP10	MP11	MP12
	8 Hz	0,046	0,040	0,036	0,044	0,059	0,045	0,050	0,041	0,065	0,060	0,046	0,041
	10 Hz	0,043	0,037	0,042	0,034	0,060	0,046	0,051	0,043	0,078	0,086	0,052	0,044
e	12,5 Hz	0,033	0,023	0,028	0,022	0,055	0,033	0,038	0,032	0,055	0,068	0,038	0,029
Decke	16 Hz	0,032	0,017	0,017	0,016	0,041	0,024	0,029	0,030	0,049	0,057	0,025	0,020
Zu	20 Hz	0,025	0,014	0,012	0,013	0,027	0,017	0,020	0,027	0,033	0,032	0,017	0,014
Eigenfrequenz	25 Hz	0,020	0,013	0,012	0,012	0,022	0,014	0,017	0,030	0,025	0,024	0,014	0,012
fre	31,5 Hz	0,020	0,013	0,011	0,012	0,020	0,014	0,015	0,029	0,022	0,022	0,013	0,011
gen	40 Hz	0,018	0,012	0,011	0,011	0,019	0,013	0,015	0,034	0,022	0,022	0,013	0,011
Ë	50 Hz	0,015	0,011	0,010	0,011	0,019	0,013	0,015	0,029	0,021	0,021	0,013	0,011
	62,5 Hz	0,014	0,011	0,010	0,011	0,019	0,013	0,014	0,023	0,020	0,020	0,013	0,011
	80 Hz	0,014	0,010	0,010	0,010	0,019	0,013	0,014	0,019	0,019	0,020	0,012	0,010

Prognostizierte $L_{A,m}$ Werte für verschiedene Deckeneigenfrequenzen für die Messpunkte MP 1 bis MP 12 in Anlehnung an die aktuelle DB Richtlinie 820.2050

			Z-Richtung											
La	m tags	Messpunkt												
		MP1	MP2	MP3	MP4	MP5	MP6	MP7	MP8	MP9	MP10	MP11	MP12	
	8 Hz	15,4	12,6	13,4	10,8	19,3	12,5	15,0	20,8	16,2	14,8	10,5	10,4	
	10 Hz	15,6	12,7	13,6	11,0	19,4	12,6	15,2	21,1	16,5	15,0	10,7	10,6	
ķe	12,5 Hz	16,0	13,1	13,8	11,4	19,7	13,0	15,5	21,5	16,8	15,4	11,0	10,9	
Decke	16 Hz	16,5	13,6	14,4	11,9	20,3	13,5	16,0	21,9	17,3	15,9	11,6	11,4	
	20 Hz	16,9	14,1	14,9	12,4	20,7	14,0	16,5	22,5	17,8	16,4	12,1	11,9	
anb	25 Hz	17,8	15,0	15,6	13,3	21,4	14,8	17,3	23,1	18,5	17,1	12,9	12,7	
fre	31,5 Hz	18,8	16,0	16,4	14,2	22,0	15,4	17,9	23,9	19,3	17,9	13,7	13,4	
Eigenfrequenz	40 Hz	19,7	16,7	17,0	14,8	22,5	16,1	18,6	25,2	20,5	19,4	14,8	14,3	
Ē	50 Hz	20,0	17,0	17,8	15,1	23,6	17,2	19,6	26,4	21,5	20,3	15,4	15,0	
	62,5 Hz	20,7	17,9	19,0	16,3	25,2	18,4	21,1	26,8	21,9	20,3	15,9	16,0	
	80 Hz	21,1	18,6	20,5	17,1	26,9	19,2	21,8	26,1	21,9	19,8	16,3	16,8	

_														
			Z-Richtung											
Lan	n nachts		Messpunkt											
		MP1	MP2	MP3	MP4	MP5	MP6	MP7	MP8	MP9	MP10	MP11	MP12	
П	8 Hz	9,8	6,7	7,6	5,2	13,9	7,0	9,5	15,7	11,1	9,6	5,3	5,2	
	10 Hz	10,0	6,9	7,7	5,4	14,0	7,2	9,6	16,0	11,4	9,8	5,6	5,4	
e	12,5 Hz	10,4	7,3	8,0	5,8	14,3	7,5	10,0	16,4	11,7	10,2	5,9	5,7	
Decke	16 Hz	10,9	7,8	8,6	6,3	14,9	8,0	10,5	16,8	12,2	10,7	6,4	6,3	
u2	20 Hz	11,4	8,3	9,0	6,8	15,3	8,5	11,0	17,4	12,7	11,2	6,9	6,8	
ant	25 Hz	12,3	9,2	9,8	7,8	16,0	9,3	11,8	18,0	13,4	11,9	7,7	7,6	
Eigenfreque	31,5 Hz	13,3	10,2	10,6	8,7	16,7	9,9	12,4	18,8	14,2	12,7	8,5	8,3	
3e u	40 Hz	14,2	11,0	11,3	9,5	17,1	10,7	13,2	20,2	15,5	14,3	9,7	9,2	
Ξ	50 Hz	14,4	11,2	12,0	9,6	18,2	11,7	14,2	21,3	16,4	15,1	10,3	9,9	
1	62,5 Hz	15,1	12,0	13,0	10,5	19,8	12,8	15,5	21,6	16,7	14,9	10,6	10,8	
1	80 Hz	15,4	12,5	14,4	11,0	21,5	13,5	16,1	20,9	16,7	14,4	11,0	11,7	